

中国科学院綜合考察委員會資料

編 号:

密 級:

塔里木河——西疆測驗

土壤調查報告

新疆維吾爾自治区荒地勘測設計局

目 录

一、緒言

二、土壤形成的自然地理条件

1. 氣候

2. 地質和地形地貌

3. 水文地質和水文地理

4. 植被

三、土壤

1. 總述

2. 詳述

(1) 荒漠森林土—即 1 号土

(2) 稀疏大土包荒漠森林土—即 1₁ 号土

(3) 密集大土包、沙包在鹽漬化衰退荒漠森林土—即 1_{II} 号土

(4) 結皮疏松性輕鹽土—即 2 号土

(5) 結皮疏松性中鹽土—即 2₁ 号土

(6) 密集中土包結皮疏松性中鹽土—即 2_{II} 号土

(7) 結皮疏松性重鹽土—即 2_{III} 号土

(8) 密集中土包結皮疏松性重鹽土—即 2_{IV} 号土

(9) 荒漠森林重鹽土—即 2_V 号土

(10) 輕度鹽漬化荒漠土—即 3 号土

(11) 盐漬化荒漠土—即 3₁ 号土

(12) 稀疏中土包中—強度鹽漬化荒漠土—即 3_{II} 号土

(13) 密集大土包侵蝕荒漠土—即 3_{III} 号土

(14) 密集大土包、沙包輕—中度鹽漬化荒漠土—即 3_{IV} 号土

(15) 輕度鹽漬化沖积荒漠土—即 3_V 号土

(16) 輕度鹽漬化荒漠灌木林土—即 4 号土

(1)輕度鹽漬化鈣發土一即5號土

(2)荒漠 漢草甸土一即6號土

(3)複區

四、改良利用意見

五、土地利用意見

六、結果譜

七、其他

八、附表（水文資料，分析資料）

一、概言：

本测区位于塔里木河西端南岸，西起和阗河，东经 80° 东至东经 $83^{\circ} 10'$ ，南与塔克拉玛干大沙漠相毗邻，北濒塔里木河，呈东西带状分布，海拔高程约在1000公尺左右，在行政区属上为沙雅、阿瓦提两县所管辖，東西長200公里，南北平均寬達23公里，总共約有荒地面积700万亩。

全区的概查任务系由新疆维吾尔自治区荒地勘测设计局概查二队担任，参加人员共廿九人，其中队长一人，政指一人，土壤技术三人，测量三人，分析四人，农牧植物各二人，医务、翻译、事务炊事各一人，司机二人，工人七人。

由于测区自然条件和运输工具的限制（风沙、洪水、骆驼），对全部荒地概查任务只得分期完成，从57年4月17日开始工作，直到7月15日，暂告一段落，共历时88天与测量工作开始进行的同时土壤人员踏勘26天（另有踏勘图和踏勘报告），外勤33天，内业12天，风沙降雨30天，星期放假3天，搬家10天，总共实测荒地面积
2664297亩（从东经 $82^{\circ} 15'$ 到 $83^{\circ} 10'$ ）。

工作进行时是以 $1/50$ 万地形图为基础，再现测 $1/10$ 万地形图作为土壤概查的底图，并采用土壤概查与测繪制圖工作同时并进的方法，根据土壤介綫明显程度，分别确定土界最大誤差为400公尺（特别明显），600公尺（明显），800公尺（不明显）。图上应繪出最小面积也分别为1000亩、2000亩、4000亩，共挖掘主要剖面87个，检查剖面2个，平均每一大剖面所代表的面积为15000亩（沙包面积除外），其中选作分析剖面者有82个，占总剖面数的9.2%，每一个分析剖面的平均代表面积为20000亩，而分析的项目是 Ca^{++} 、 $\text{SO}_4^{=}$ 、 Cu^{+} 、 HCO_3^- 、 PH 、有机质，至于土壤的总盐含量和可溶性 Ca^{++} 、 Mg^{++} ，因缺乏儀器、药品，未分析，分析的方法：

C L ——莫尔滴定法

P H ——比色法

$\text{SO}_4^=$ ——联苯胺法

总盐——由分盐换算而得

HCO_3^- 、 CO_3^{2-} ——酸碱中和雙指示劑滴定法

有机质——重铬酸钾氧化法

每一試樣皆重複一次取其平均值，其精度按工作細則所規定執行。

剖面数目

主要	檢查	分析	項	目	數量	方法
			C L =			莫尔滴定法
87	2	82	$\text{SO}_4^=$			联苯胺法
			CO_3^{2-}			酸碱中和雙指示劑
			HCO_3^-			滴定法
			P H			比色法
15000		20000	有机质			重铬酸钾氧化法
			总盐			分盐換算

二、土壤形成的自然地理条件：

1. 气候：

在本区的二个县属内尚未设置专门的气象站，只能援引库车、阿克苏的气象资料作为本测区气候情况的简单说明，由于库、阿二地距测区尚有 100 公里之遥，且有塔里木河相隔，又紧连塔克拉玛干沙漠，在气候特点上有较大差异，因此援引的数据只能说明大区域气候趋势，并无实际利用价值，对本区气候的描述主要是访问所得资料，加以总结概述：

在库车一带据近年的气象记载，其年平均气温在 $10 - 11^\circ\text{C}$ ，年平均最低气温在 $5 - 7^\circ\text{C}$ ，年平均最高气温在 $16 - 18^\circ\text{C}$ ，夏季七月最高温度可達 33°C ，而最低一月温度 $-21 - 3^\circ\text{C}$ ，在阿克苏

地区的七月最高气温为 40°C ，冬季一月最低温度为 -27°C ，因而可知，本区冷热变化悬殊，气温年较差皆在 $50-70^{\circ}\text{C}$ 之间，空气十分干燥，一般相对湿度在45%，就降雨而言，以年雨量最多的库车作计算，也不过 70mm 左右，但是当地的蒸发量却大得惊人，库车的年蒸发量是 2708mm ，约为年雨量的39倍，其中尤以5—8月蒸发最大，占全年蒸发量的64%。

从群众访问所得的资料中，也同样足以说明当地强烈大陆性气候的特征，据估计本测区全年降雨量在 30mm 以下，且分布不均匀多集中在6—8月洪水期内，最大降雨强度也只能湿润地表 $2-3\text{cm}$ ，在其他季节内很难见有下雨，也有多年不雨的情况。

在每年1—3月内有3—5次降雪，积雪最大厚度约15公分，最小厚度仅能覆盖地面，随降随消，土壤在12月中旬即开始冻结，至来春3月解冻，一般冻结深度可達 $30-40$ 公分，暴风在本测区内则甚为频繁尤以4—7月更为常见，立秋后风即减少，一般风速在3—4级，最大风速为8—10级，每当刮风之际尘土飞扬，沙粒弥漫，使白昼昏暗，就百米以内，也难看清，经常有旋风卷起的扬天沙柱，高数十丈，真具有独特的沙漠景光，风向在1—4月多为西北风，以后则多西南风，日照最长全年共有 2999.5 小时，早霜时出现在10月中旬，晚霜期终止在4月中旬，共有无霜期180天左右。

本区气候上的这种特点，是由于处在塔里木盆地的边缘，紧于塔克拉玛干沙漠相毗邻，而塔里木盆地本身又位于天山山系和昆仑山系之间是一呈卵圆形的沙漠盆地的稳定平台，它深藏内陆，极端闭塞，四周高山环绕，阻碍了北冰洋和印度洋潮湿气流的吹入，因而在气候上显得极其干旱少雨，寒暑剧烈，蒸发浩大，年日温差变幅更可称着全国真有“早穿皮袄午穿纱，抱着火炉吃西瓜”的景象，系一典型的荒漠干燥气候带或称为半沙漠气候。

二 地质和地形地貌：

A、地質：本測區位於塔里木盆地邊緣，在地質構造上與塔里木盆地相同是在崑崙山系和天山山系興起後相對拗陷而形成，特別是當喜馬拉雅造山運動後，山系斷裂上升呈斷塊山形態，而盆地更為相對下降，甚為深陷，便與海洋隔絕，流沙不易被風力吹刮外揚，就只得在盆地中堆积經長期蒸發而變成沙漠戈壁，僅在天山之盆地邊緣山麓地帶，才有水有草，土壤較為肥美，而本測區荒地便恰位于此。

在干熱的荒漠氣候條件下，由溫差極度變更所引起的岩石脹縮、破碎作用，以及滲入岩石縫隙中水分的冰凍所產生的膨脹破碎作用，結果使山系的岩石達到嚴重的物理風化，致於化學風化和生物風化過程在本區內則顯得十分微弱，因此由物理風化產生的岩石碎屑經水流帶至本區組成的土壤母質，一般機械成分並不粘重，多系沙壤一輕壤。

且因崑崙山系和天山山系的岩石組成為花崗岩、片麻岩、云母岩……，以致使土壤母質中含有較豐富的云母、長石……等礦物成分。

B、地形地貌：

本區處在塔里木盆地邊緣有水有草的山麓地帶，因之在地形地貌上，仍系塔里木盆地中古代河流的河成沖積平原，它的成因雖很複雜，但總的說來是由本區內的河谷相距很遠的幾條大河（阿克且克河、阿克河、苦都克特里木河、卡尔打息河、塔里木河）的沖積物堆積起來而生成的廣闊平原，地勢極為平坦，微有從西南向東北傾斜的趨勢，但在長期的自然歷史過程中，由於各種地質營力綜合作用的結果，在本區的古代沖積平原上，明顯的劃分出了四個彼此不同的地貌區域。

(I) 沖積階地—沖積地形：

在平原的北部，由於塔里木河河床不穩定，發生屢次變遷北移，以致形成了塔里木河的河成沖積階地，各階地皆系沿着塔里木河河谷坡度伸展的水平或微斜地帶，據觀察由塔里木河從北往南大致可分為三個階地，各階地之間的高差很小，階地的前緣和後緣也不明顯。

第一階地：——沖積泛濫階地，是塔里木河最後一次改道北移後才露

水斷的新階地，仅有 20—30 年的歷史，階地面寬 1—3 公里，地勢平坦，只在表面一定深度內有由土壤濕漲干縮所形成的皺紋裂縫，所以表現為特殊的干裂地形，其後緣邊坡高約 2 米左右。

第二階地：——為塔里木河洪水期洪水所能淹沒的上限地帶（其下限以第一階地為介）地面上有稀疏的小土包與隆凸的盃斑分布，一般土包的高度不超過一米，土包所占據的面積也在地表面積的 $1/5$ 以下，所以地勢較第一階地為高，距水面約 2—4 公尺，地形不平坦，有較小的起伏。

第三階地：為塔里木河洪水期河水所不能淹沒地帶，地勢更高出，超過水面約 4—5 公尺，地表有土包分布，其土包的高度與密度並不十分均勻，各地塊皆有所不同，总的說來土包的高度和密度皆較第二階地有較大的起伏。

(四) 割切地形：

在平原的中部是旧有河道宛轉交錯分布地帶，在河道水源未斷期間，沿河床兩岸，即形成了微具波狀的河流沖積層面和洪水所產生的剝蝕溝，當河道水源斷絕時候顯出了由於溝產生的割切地形，將平原中部的地表面割切成東西條狀、帶狀或塊狀的梁地，一般割切干溝的寬度在 10—20 公尺，而乾溝切割的密度則不一致。深達 1—10 公尺。

本地貌區域的地勢更高，相距塔里木河水面，在 5 公尺以上。

(五) 風蝕地形：

在平原的南部，靠近塔克拉馬干沙漠邊緣，風的吹颶作用極為頻繁，因吹颶而產生的風蝕地形也極為常見，據風力對土壤產生侵蝕強度的不同，可進一步劃分成不同的地貌分區：

(1) 驚鏡凹地：——在風力稍小的地區，地表所形成的驚鏡凹地，原出不窮，呈橢圓似馬蹄形，如循着風向看，前面是驚鏡凹地，最深部分，較為陡峭，而凹地的相對邊則開闊而較平緩。

在本地貌區域內風的剝蝕作用之所以這樣強烈，不僅由於風的頻率高，風速大，更主要的是風中夾有流沙，並多呈旋風形式，這便能大大的增加

风力对土壤产生的摩擦刮蝕作用。

本区的风蝕地形往往又与风积形成的大型沙土包相伴分布，因此在地形上极端不平，高低相差甚为悬殊。

(1) 风积地形：

在平原的最南部，以风积而产生的堆积地形为主要特征，其中最普遍的一种为：“复盖沙”——流沙在地面复盖的厚度各地并不一致，可从几公分发展到几公尺的悬殊差别，复沙表面具有与风向相垂直的东北向波纹，一般波纹长度在10—20公分左右，高度也不超过5公分。

其次为“草叢沙堆”——当流沙在风力吹拂移动的道路中，经常遇到在地面生长的红柳叢灌木所阻滞，使风速降低，流沙下沉在红柳叢的周围附近堆积而成半顶园柱状的大型沙堆，沙堆高度可達20—40m，堆底直径也有30—40m之长。

另外在本地貌区域内还有许多明显可见的“新月形沙丘”“抛物线沙丘”沙梁等不同的小风积地貌单元。

从它们分布特点指出，沙丘东北方向的坡面伸展较长而平缓，西南面则短而陡促，这与本测区内多系西南风的特性是相为一致的，因此可以初步得出结论，本测区南端塔克拉玛干沙漠的流沙，现在仍沿着风向朝西南移动，对测区西南部荒地有极大威胁，而对测区东北部的土壤，则危害趋势较少。

3. 水文地理及水文地质：

(1) (1) 水文地理：

塔里木河为本区独一无二的现有河系，也是我国最长的内陸河流之一，沿测区的北部，从西北往东流，它的上游系由阿克苏河、叶尔羌河、和闐河、消干河相汇而成，这些河系顶端，皆发源于高山地带的冰川、积雪，因冰川久存，河水也能四季不断，但河水流量的大小，则要随高山的积雪厚薄、气温变化的情况而有所改变，所以塔里木河的流量具有明显季节性，其最大洪水流量可達 $150 \text{ m}^3/\text{sec}$ ，而最小水流量为 $4 \cdot 32 \text{ m}^3/\text{sec}$

便形成了塔里木河最大洪水和枯水比率尽达35倍之多。

据阿克苏水文站52—56年记载，每年的11月至次年3月为塔里木结冰期，在4—5月溶冰后，将发生一次春泛，但春洪来势不猛，以5—6月水位最低，截至6月中旬后，气温急剧升高，高山积雪融化，使塔河水位上涨，一直到7—8月时为洪水期，9月后已随气温的下降而使塔里木河水位也相应降低。

据新济南水文站的观测资料指出：今年（57年）塔里木河溶冰期较早，在3月初水位即行升高，然后水位降低，一直到6月初旬为水位的最低限，从6月中旬起，水位也同样剧烈增高（图一）。

塔里木河河水流速在正常的季节内是流速小而平稳，一般3月份的流速在 $0 \cdot 6 - 0 \cdot 8 \text{ m/sec}$ 左右，4月为 $0 \cdot 4 - 0 \cdot 6 \text{ m/sec}$ ，5月为 $0 \cdot 2 - 0 \cdot 25 \text{ m/sec}$ ，6月正值洪水流速变化极大，甚至在一天内就可增加 $0 \cdot 6 \text{ m/sec}$ （从 $0 \cdot 89 \text{ m/sec}$ 增至 $3 \cdot 35 \text{ m/sec}$ ）（图2）

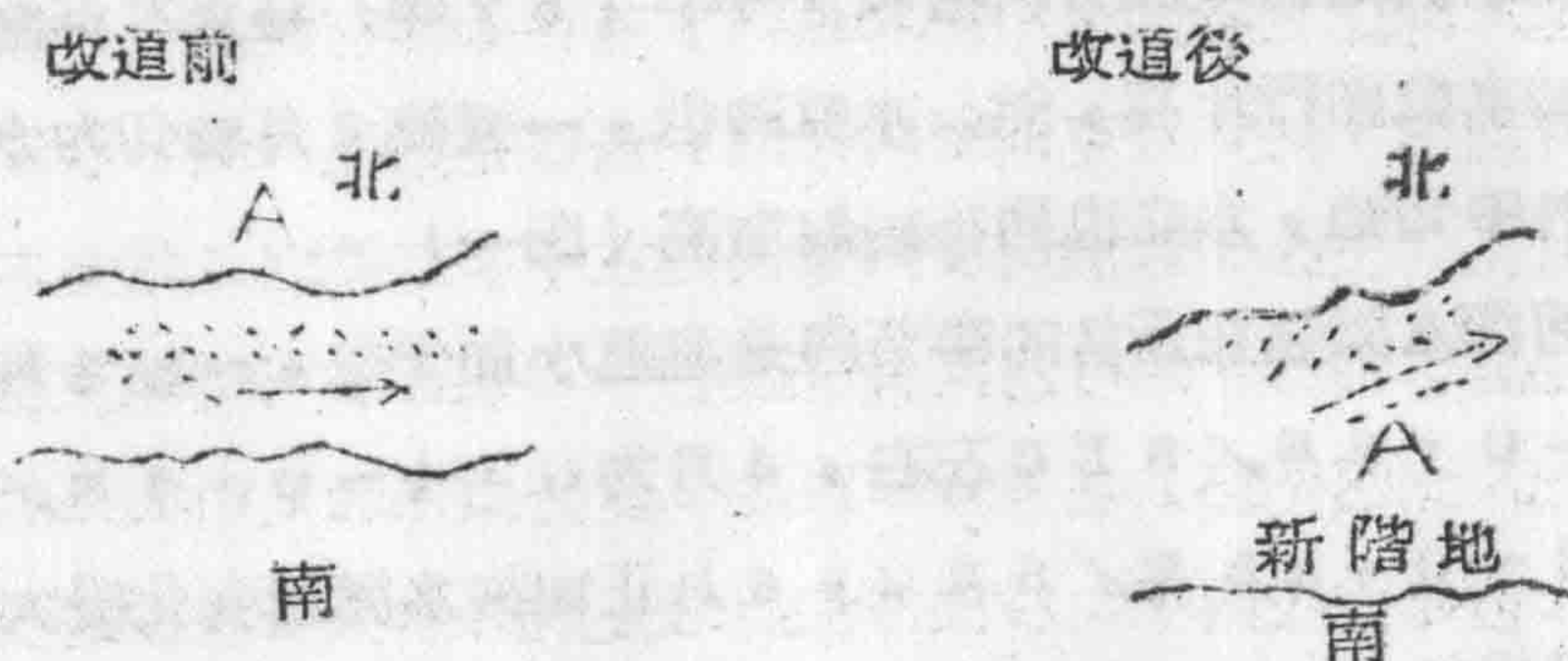
而塔里木河的流量变化规律，是与流速相一致，河的一般静流量在3月为 $80 - 100 \text{ m}^3/\text{sec}$ ，4月为 $40 - 60 \text{ m}^3/\text{sec}$ ，5月为 $7 - 11 \text{ m}^3/\text{sec}$ 。

塔里木河流经地带，全系干燥的荒漠或戈壁，水量蒸发甚大，再加上沿路土壤大量渗漏（土质很轻），使河水的流量上下游悬殊，显出沙漠河流的特性。

塔里木河的水质，来自深山溶雪，一般水色清断，含盐量低，河水的流速，慢而平稳，水中所夹带之沙粒在上游已沉降，故中、下游的河水含沙量较轻。可供洗盐、灌溉或饮水之用。唯在洪水期内，水发生变化，凡在沙道区为黑色，味甜，无怪味，在泛滥区内，水呈红色，味带酸辣，是有苦臭之气。

塔河的河道，紊乱不堪，漫衍极多，河床不稳，河岸崩塌现象极为嚴重，且多发生于北岸，能造成塔里木河河道的变迁和改道，经观察访问，

塔里木河目前确已北移，并在繼續进行着。有很多实事可資證明：首先在沿塔里木河南岸有1—3公里寬的新冲积泛滥階地，据哈德頓74歲老人尼亞孜一阿洪与龍老壽志克63歲老人刺木刺克說：这个新成階地原系塔里木河河道，但在10—30年前才露出地面，从階地上生长的幼小萌柳、紅柳和草本植物的年齡推斷，也与此相符合，其次在塔里木南岸尚發現有为北岸的遺跡（如圖3）



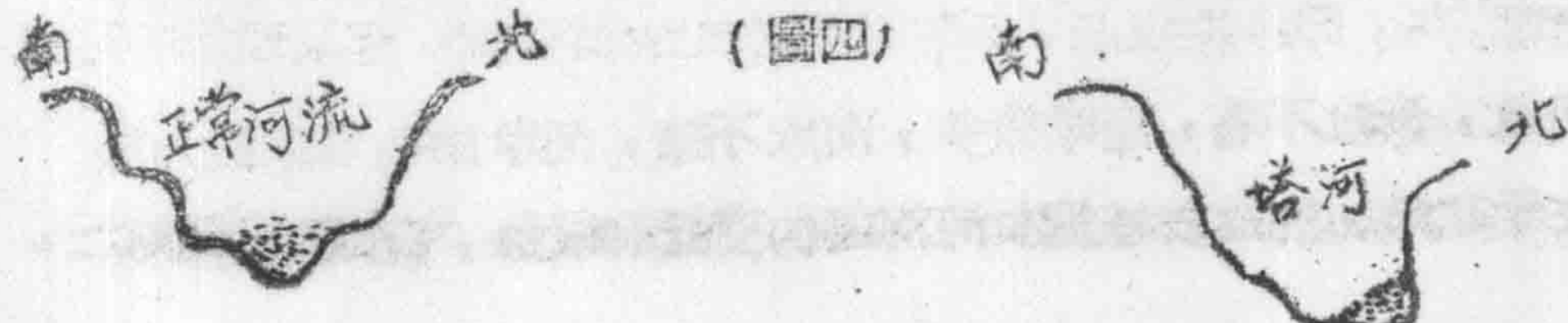
从圖指出，A部分原系塔河北岸，当洪水时，河流改道北移，便将A部分相对的位移于塔河南岸，而原河道的南部将露出地面呈新冲积階地，就从阿克苏水文記載中，也可找到同樣說明，仅在53—54两年，塔里木河已移80m之远。

至于塔里木河改道北移的原因，尚不能作肯定判斷，只提出如下初步意見：

①地形影响：

在整个地形上是西南傾向東北，与河流方向一致，但就以塔河的南北而言是南高北低，直接影响到河床的形状和构造，目前塔里木河河床与其它正常河道相较具有明显的差异。

（圖4）（圖5）橫斷面圖（示意圖一代表一般情況）



在南岸多有泛滥階地或河漫灘存在，河岸較為平緩，而北岸則相陡峭，河水水量多集中在北岸，因而也造成河道南北兩岸流速的不一，在南岸當河水流過漫灘時，流速降低而變為緩慢，泥沙下沉，產生強烈的沖積聚積作用，灘地面積不斷加寬擴大，而北岸水量大流速快，這無疑會對北岸發生嚴重沖刷作用，使河岸崩塌，其結果便造成了塔河繼續北移。（圖六）

②塔里木河水量增加引起河道的北移：

除塔里木河處在本測區中部和南部，有四條舊有河道，宛轉分布，從南到北，分別由：阿克且克河，阿克河，苦魯克楊里木河，卡尔打息河，其中阿克且克河發源于和闐河，阿克河則在卡格打勤處從塔里木河分出，而苦魯克楊里木河和卡尔打息河皆先後在一耳德什，可略略克處與塔里木河分支，流入測區南部，在60年以前，崑崙山系和天山山系的溶雪水，由五條河床被塔克拉馬干大沙漠沙層所堆復或洪水夾帶泥沙的淤塞，使河床大為升高，河水得不到流入而全部匯集在塔里木河，以致造成塔里木河水量劇增，河面增寬，從而也加速了對北岸的沖刷崩塌。

③塔河水源的特點：

正如上述塔里木河河水來至山系溶雪，有明顯洪水枯水期，每當洪水期時來勢猛烈，對河岸也產生強烈沖刷。

④河岸的土質：

塔里木河兩岸，土質疏松，多系沙性土壤，以細沙土沙壤居多，在北岸陡峭岸壁的情況下，一經水流沖陶，岸脚泥土而入水，造成嚴重的崩塌現象。

塔里木河便在上述各因素的相互影響，綜合作用下，發生了繼續不斷的改道北移。

(2)水文地質：

在本測區內，因條件限制，未曾從事水文地質研究，但從現場的觀察了解提出初步意見：

全測區地下水位分布規律是北高南低，東高西低，大凡在干溝附近，

地下水位较高，随着距干溝距離的加長，地下水位也相應加深，在塔里木河沿岸 5 公里內，共有 5 個水井，靜口水位在 2 ~ 4 m，无色，清香可口，稍帶甜味，有供群眾飲水之用。

据 2003 号水井分析確定系以重碳酸鹽含量居多的為礦化水。

在平原中部，有 2 個小井，深達 5 m 左右，其水味鹹淡各一，屬淡水者其物理特性與沿河相似，而鹹水則呈棕黃色（微鹹）。平原南部也有水井 3 個，水面約在 8 ~ 12 m，隨着水色棕黃程度的增加，水味也由微鹹變成鹹，當煮沸後能顯出黃色絮狀沉淀，不易凝結，只需微加振盪即懸浮于水中。

凡系鹹水皆不宜飲用，若吃食稍久患鴉病。除此而外，在平原中北部，尚有不少的秋下地（淡水）和秋水溝（多系鹹水）。

对于本測區的水文地質應作進一步的分析研究。

4. 植被：

(1) 概述：一植物群落的地理分布規律：

測區靠近戈壁沙漠，氣候上的特點是氣溫變幅極大，絕對最高氣溫可達 40°C ，冬季絕對最低溫，又可降至 -27°C ，故年較差在 70°C 左右，而絕對日較差也在 30°C 以上，因此在生長季節中，形成了對作物生長發育的不利條件，夏季又晴空無雲輻射強烈，使土壤表層溫度可增達 $60-80^{\circ}\text{C}$ ，引起劇烈的蒸發，而降雨量不僅稀少，且分布不均，空氣溫度也很低微，以致植物生長所必須的水分因素遭到嚴重的缺乏，雖然在1—2月相對濕度可達 50% ，但因此時溫度过低，空氣實際水氣太少，已失掉其意義，反之，從春暮起，濕度降低，溫度劇增，狂風時起，蒸發更大，對植物的生長發育更為不利，在這種終年缺雨、夏季酷暑、冬季嚴寒，再加風沙的不利條件下，當地下水位較低，不能充分滿足植物生長之需時，便促使植被形矮稀疏，因而在廣闊的荒漠土地帶，分布着荒漠灌木林的紅柳、黑刺、駱駝刺、甘草、野豌等耐旱植物群落。

在塔里木河沿岸和旧有河道宛轉彎曲分布地帶，能從地下水補給，土壤以大量水源，使土壤具有較豐富的水分，在這有利的水文條件下，生長着茂密的荒漠森林——胡楊林和少量沙棗——植被群落，在本測區內占有極大面积，是荒漠地帶的獨特景觀。

在鹽土上則分布着稀疏肉質多節的鹽壠頃和小葉耐旱的紅柳群落。

新沖积的泛濫階地，以及低洼的微盆地，受地下水的侵潤，使生長着細小而低矮的芨芨草、蘆葦、鈴鐺刺等濕生植物群落。

靠近沙漠則有沙蓬、彷彿蓬生長。

所以植被群落的分布，在整個測區內是有明顯規律性和地帶性的。

(附：土壤、植被、地形、垂直分布斷面示意圖)

(2) 概述：一主要植物群落和植株個體的特性：

(1) 胡楊林：

在測區內，沿塔里木河呈東西帶狀分布，多集中于河流兩岸或干溝附

近，生长甚为茂密，一般株高在8—10公尺，最高可達15公尺，胸高直径20—40公分左右，最大者也在60—80公分以上，林冠总复盖度一般在70—80%，最高可達90%，以成年林居多，仅在新冲积的泛滥地上，才生长着胡杨幼树的幼年林，^林木是本测区内防风固沙极其实主要不可多得的树木，在林冠下部，也伴生着数量不等的红柳、甘草、铃铛刺，以组成混生的植被群落，就胡杨个体的生态习性而言：

胡杨 (Populus euphratica)

系杨柳科的阳性落叶喬木，樹皮黃，杆縱裂，根多呈水平分布，因之具有喜湿性和向阳性，随着土壤含水率从北向南的减少，胡杨植株便显出了明显的抗旱特征，测区南部的胡杨，一般较北部者叶小而稀少，枯梢現象极为普遍，枝叶表面披有淡黄色的角质层，具有垂直根系并丧失了其排盐的能力。

胡杨的株体内，含有高数量盐分，在樹根中以 HCO_3^- 和 CO_3^{2-} 特別居多，而 Cl^- 、 SO_4^{2-} 相对极端低微—其当量比 $\frac{\text{HCO}_3^- + \text{CO}_3^{2-}}{\text{Cl}^- + \text{SO}_4^{2-}}$ = 17·6802 樹枝中也仍以重碳酸盐和碳酸盐的含量为高氯化物硫酸盐数量较少，其 HCO_3^- 、 CO_3^{2-} 与 Cl^- 、 SO_4^{2-} 的当量比在5·7192左右，但在胡杨树叶中则收于相反的情况以 Cl^- 、 SO_4^{2-} 的含量大于 HCO_3^- 、 CO_3^{2-} 的含量其当量比为：0·7543 (表1)。

胡杨成分分析表(1)

樣 品	分 項 項 目 及 其 含 量 %			
	Cl^-	SO_4^{2-}	HCO_3^-	CO_3^{2-}
胡杨樹枝	1·6331	1·2726	10·6807	8·8440
胡杨樹叶	4·5552	2·8701	2·2549	3·3660
胡杨樹根	0·9515	0·4178	14·0456	10·164

註“計算时是以灰分含量为基数”

因此造成胡杨体細胞內的高膠压，在土壤水分充沛的条件下，有一

能忍耐盐分的能力，一般当土壤含盐在0·2—0·25%， Cl^- 的含量在0·03—0·04%时生长优良，当土壤含盐在2—3%， Cl^- 在0·3—0·4%时，生长稍坏而遭到抑制，当土壤含盐达4—5%， Cl^- 在2—2·5%时胡杨即表现为生理干旱或死亡。

如果土壤盐分大量集积于土表，而在胡杨根系分布层的含盐量有急剧降低时，则即或是在重盐土上，胡杨也能生长，在塔里木河沿岸的盐化荒漠土上，土壤表层30公分内的含盐量已超过15%，氯根也达5%左右，但胡杨仍然生长十分茂密（表3）。

胡杨与土壤含盐量关系分析表(2)

生 长 势	层 次	PH	Cl^- %	$\text{SO}_4^{=}$ %	$\text{CO}_3^{=}$ %	HCO_3^- %	总盐%
优 良	上	7·6	0·0354	0·048	—	0·1216	0·282
	下	7·0	0·0354	0·024	—	0·0684	0·188
稍 疏	上	7·2	0·7434	0·408	—	1·33	3·66
	下	9·3	0·0088	—	0·0038	0·3192	0·448
枯 死	上	8·2	3·717	0·12	0·003	0·684	7·16
	下	7·5	0·2822	0·168	—	0·2508	1·06

胡杨在盐分很重的土壤生长含盐量表(3)

剖面 深 度	分 析 项 目 及 含 量 %						
	总 盐	Cl^-	$\text{SO}_4^{=}$	HCO_3^-	$\text{CO}_3^{=}$	PH	有机质
0—5	3·3608	2·593				5·684	
5—10	61·74	24·3382	14·1423	0·0360	0·005	8·80·675	
10—30	3·822	1·1602	1·276	0·0140	0·0034	8·80·387	
30—50	1·553	0·1359	0·8829	0·0140	0·0017	0·456	
50—100	1·506	0·0963	0·9073	0·0150	0·0008	8·20·599	
100—125	0·554	0·1217	0·2076	0·0220	0·0042	8·90·754	
125—185	0·492	0·1061	0·1868	0·0270	0·0042	8·90·434	
185—200	0·475	0·1590	0·1282	0·0190	0·0063	9·00·207	